

بررسی عملکرد روش‌های تخمین داده‌های از دست رفته‌ی فازی بر شاخص توانایی فرایند دومتغیره‌ی فازی C_{pm}

عرفانه نیکزاد (دانشجوی دکتری)

عاطفه عشوری (کارشناس ارشد)

امیرحسین امیری* (دانشیار)

گروه مهندسی صنایع، دانشگاه شاهد

علی سلامسنا (استادیار)

گروه مهندسی صنایع، دانشگاه قم

شاخص‌های توانایی فرایند به منظور ارزیابی توانایی فرایندها در تأمین خواسته‌های مشتریان کاربرد دارد. بسیاری از مشخصه‌های کیفی عملاً دارای عدم قطعیت هستند و به صورت اعداد فازی نشان داده می‌شوند. اغلب در بین مشاهدات داده‌های از دست رفته‌یی وجود دارد که بر عملکرد شاخص‌های توانایی فرایند تأثیر بسیاری دارد. تاکنون تأثیر روش‌های تخمین داده‌های از دست رفته بر عملکرد شاخص‌های توانایی فرایند فازی بررسی نشده است. در تحقیق حاضر دو روش میانگین و رگرسیون به منظور تخمین داده‌های از دست رفته فازی با در نظر گرفتن برش‌های α توسعه داده شده است. سپس عملکرد روش‌های توسعه‌یافته بر نتایج شاخص توانایی فرایند فازی C_{pm} در حضور داده‌های از دست رفته، تحت مقایر مختلف ضربیه همبستگی و درصد داده‌های از دست رفته بررسی می‌شود. نتایج نشان می‌دهد که روش رگرسیون از عملکرد بهتری نسبت به روش میانگین در تخمین این داده‌ها برخوردار است.

e.nikzad@shahed.ac.ir
atefeh.ashuri@gmail.com
amiri@shahed.ac.ir
a.salmasn@qom.ac.ir

واژگان کلیدی: شاخص توانایی فرایند C_{pm} , داده‌های از دست رفته، مشاهدات چندمتغیره‌ی فازی، نظریه‌ی مجموعه‌های فازی، α - برش‌ها، الگوریتم بهینه‌سازی اجتماع ذرات.

۱. مقدمه

-- هنگامی که مشخصه‌های کیفی دارای توزع نرمال چندمتغیره هستند -- ارائه کردند. شن^[۴] شاخصی براساس نسبت اقلام نامنطبق را برای محاسبه‌ی توانایی فرایندهای چندمتغیره پیشنهاد داد. ونگ و شن^[۵] شاخص توانایی فرایند چندمتغیره را با استفاده از تکنیک تحلیل مؤلفه‌های اصلی پیشنهاد دادند. شهریاری و عبدالله‌زاده^[۶] نیز بردار توانایی فرایند را برای تعیین توانایی فرایندهای چندمتغیره ارائه دادند. شاخص‌های توانایی فرایند ذکر شده در مجموعه‌ی توانایی فرایند هنگامی که داده‌ها قطعی هستند ارائه شده است. این در حالی است که غالباً حدود مشخصه‌ی فنی و مشاهدات دارای عدم قطعیت هستند. عوامل خطای موجود در سیستم‌های اندازه‌گیری و تأثیر قضاوت عملکر در ثبت مشاهدات منجر به پدیده‌ی عدم قطعیت در ثبت مشاهدات می‌شود. در این حالت حدود مشخصه‌ی فنی و مشاهدات به صورت اعداد فازی بیان می‌شود. بنابراین شاخص‌های توانایی فرایند را باید به صورت مجموعه‌های فازی محاسبه کرد. تی‌سای و همکاران^[۷] شاخص توانایی فرایند فازی \tilde{C}_p را برای محاسبه‌ی توانایی فرایند هنگامی که مشاهدات فازی

«شاخص توانایی فرایند» ابزار بسیار قدرتمندی است که در دو دهه‌ی اخیر برای تعیین توانایی بالقوه و بالفعل فرایندها در تأمین خواسته‌های مشتریان مورد استفاده قرار می‌گیرند. شناخته شده‌ترین شاخص‌های توانایی فرایند ارائه شده برای فرایندهای تک متغیره‌ی شاخص C_{pm} و C_{pk} هستند. کوترو جانسون^[۸] موری بر تحقیقات صورت گرفته بین سال‌های ۱۹۹۲ تا ۲۰۰۰ روی شاخص‌های توانایی فرایند انجام دادند. در دنیای واقعی در بسیاری از فرایندها بیش از یک مشخصه‌ی کیفی وجود دارد. بنابراین شاخص‌های توانایی فرایند چندمتغیره برای محاسبه‌ی توانایی فرایندها بیش از یک مشخصه‌ی کیفی ارائه شد. تام و همکاران^[۹] شاخص‌های توانایی فرایند MC_{pm} و MC_p را برای فرایندهای چندمتغیره ارائه کردند. شهریاری و همکاران^[۱۰] شاخص توانایی فرایند چندمتغیره‌ی C_{pm} را برای تعیین توانایی فرایندهای چندمتغیره

* نویسنده مسئول

تاریخ دریافت: ۱۳۹۳/۹/۲۵، تاریخ اصلاحیه: ۱۳۹۴/۶/۲۸، پذیرش: ۱۳۹۴/۶/۲۸

حالت وقوع داده‌های از دست رفته است که در آن برداری از مشاهدات وجود دارد؛ برخی از درایه‌های این بردار با استفاده از تولید اعداد تصادفی به عنوان داده‌های از دست رفته در نظر گرفته می‌شوند.

۲. داده‌های از دست رفته‌ی تک متغیره^۳: در این حالت یک متغیر از بین متغیرهای موجود گشته تلقی می‌شود. در واقع زمانی که بیش از یک مشخصه‌ی کیفی وجود دارد، تنها یکی از مشخصه‌های کیفی بر حسب شرایط به صورت از دست رفته در نظر گرفته می‌شود.

۳. داده‌های از دست رفته به دلیل حضور برخی موانع^۴: در این حالت در برخی از فرایندها از جمله فرایندهای شیمیایی در دمای بالا و شرایط ایزولو، اندازه‌گیری برخی از مشخصه‌های کیفی به عمل شرایط هزینه‌زا و مجاورت با مناطق پر خطر منطقی به نظر نمی‌رسد و به عنوان داده‌ی گشته تلقی می‌شود.

۴. داده‌های از دست رفته به عمل عدم تطبیق برخی مشاهدات^۵: برخی از مشاهدات قابلیت دسترسی هم‌زمان را ندارند و همواره قسمتی از مشاهدات از دست رفته تلقی می‌شود. در واقع سنسورهایی که به منظور ثبت مشاهدات تعییه شده، در دوره‌های زمانی متفاوتی عمل ثبت مشاهدات را انجام می‌دهند.

با توجه به وجود عدم قطعیت در پایش و ثبت مشخصه‌های کیفی در بسیاری از فرایندها و وجود داده‌های از دست رفته در بسیاری از کاربردهای عملی، ضرورت بررسی عملکرد روش‌های تخمین داده‌های از دست رفته فازی و اثروجود داده‌های از دست رفته بر عملکرد شاخص‌های توانایی فرایند در فضای عدم قطعیت مشخص است. چنان‌که در مرور ادبیات اشاره شد، تاکنون اثر وجود داده‌های از دست رفته‌ی فازی و روش‌های تخمین داده‌های از دست رفته‌ی چندمتغیره‌ی فازی بر عملکرد شاخص‌های توانایی فرایند نامعلوم نشده است. بدین‌منظور در نوشتار حاضر ابتدا دو روش رگرسیون و میانگین فازی به منظور تخمین داده‌های از دست رفته‌ی فازی توسعه داده شده است. سپس نتایج شاخص توانایی فرایند دومتغیره‌ی فازی^۶ C_{pm} هنگامی که داده‌های از دست رفته با استفاده از روش‌های میانگین و رگرسیون برآورد می‌شوند، بررسی می‌شود. در این نوشتار برای تخمین مقادیر مشاهدات فازی با روش رگرسیون و همچنین محاسبه‌ی شاخص توانایی فرایند دومتغیره‌ی فازی^۷ C_{pm} از توابع بهینه‌سازی استفاده می‌شود. برای حل توابع بهینه‌سازی از الگوریتم اجتماع ذرات (PSO)^۸ استفاده شده است. الگوریتم بهینه‌سازی اجتماع ذرات به عنوان یک الگوریتم فراابتکاری مبتنی بر جمعیت در سال ۱۹۹۵ توسط کنده و ابرهارت^۹ ارائه شد. این الگوریتم بر پایه‌ی رفتار اجتماعی گروهی از پرندگان یا حشرات، یا دسته‌ی از ماهیان که به شیوه‌ی بسیار معمولی به جستجوی غذا می‌پردازند، به وجود آمده است. الگوریتم PSO یک تکنیک جستجوی تصادفی با محاسباتی مؤثر اجرای آسان و نیاز به حافظه‌ی کم تر در مقایسه با سایر الگوریتم‌های تکاملی است.

در این تحقیق تحلیل حساسیت روی پارامترهای ضریب همبستگی و درصد داده‌های از دست رفته نیز انجام می‌شود. هدف از تحلیل حساسیت یافتن شرایطی است که شاخص توانایی فرایند کمترین تأثیرپذیری را در حضور داده‌های از دست رفته داشته باشد.

در این نوشتار در بخش دوم به معرفی شاخص توانایی فرایند C_{pm} ، و سپس محاسبه‌ی شاخص توانایی فرایند فازی C_{pm} هنگامی که مشاهدات فازی هستند پرداخته شده است. در بخش سوم روش‌های تخمین داده‌های از دست رفته در حالت قطعی و فازی توضیح داده شده است. در بخش چهارم رویه‌ی تحقیق و الگوریتم اجتماع ذرات ارائه شده است. عملکرد شاخص توانایی فرایند فازی^{۱۰} C_{pm} زمانی که

هستند ارائه کردند. ماشین چی و پرچمی^{۱۱} از روش تخمین بالکی برای تخمین فازی شاخص‌های توانایی فرایند یک متغیره استفاده کردند. آنان شاخص توانایی فرایند فازی^{۱۲} \tilde{C}_p را، هنگامی که حدود مشخصه‌ی فنی با اعداد فاری بیان شده، پیشنهاد دادند.^{۱۳}

پرچمی و همکاران^{۱۴} یک فاصله‌ی اطمینان برای شاخص توانایی فرایند فازی^{۱۵} در حالتی که حدود مشخصه‌ی فنی فازی است، ارائه دادند. چن و همکاران^{۱۶} روشی برای محاسبه‌ی مقدار شاخص توانایی فرایند C_{pm} برای داده‌های فازی ارائه دادند. همچنین عبدالشاه و همکاران^{۱۷} شاخص توانایی فرایند فازی^{۱۸} را در شرایط عدم قطعیت فازی مشاهدات ارائه کردند. موسوی و همکاران^{۱۹} روشی برای

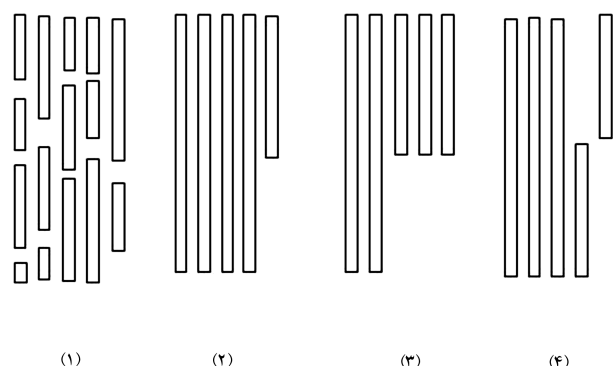
محاسبه‌ی شاخص‌های توانایی فرایند چندمتغیره‌ی فازی ارائه دادند. مسئله‌ی داده‌های از دست رفته به عنوان یکی از موضوعات بسیار مهم و کاربردی در تحقیقات سال‌های اخیر معرفی شده است.^{۲۰} این مسئله ممکن است به دلایلی همچون خرابی ماشین‌آلات، هزینه‌ی بالای نمونه‌گیری، خطای در سیستم‌های اندازه‌گیری، از بین رفتن داده‌های تاریخی یا ناخوانا بودن پاره‌یی از اطلاعات ثبت شده توسط اپراتور در بسیاری از کاربردهای عملی اتفاق بیفت.^{۲۱} به عنوان مثال در علوم فتاوری نانو برخی از ترکیبات مولکولی به سادگی قابل استقرار در محیط به منظور انجام آزمایش نیستند و به عنوان داده‌های از دست رفته تلقی می‌شوند.^{۲۲}

همچنین در کتتل و پاش فرایندهای دسته‌ی در هر لحظه مانند t ، رفتار آینده‌ی فرایند نامعلوم تلقی می‌شود و به عنوان داده‌ی از دست رفته منتظر می‌شود.^{۲۳} خرابی در سنسورها و سیستم‌های دیجیتال ثبت کننده‌ی اطلاعات نیز در بسیاری از فرایندها منجر به ایجاد داده‌های از دست رفته می‌شود.^{۲۴}

داده‌های از دست رفته به دلیل تأثیر زیاد بر برآورد نادرست عملکرد فرایند به عنوان یک مشکل مطرح می‌شود. تأثیر داده‌های از دست رفته در تخمین پارامترهای فرایند در شرایطی که برینای داده‌های موجود در خصوص قابلیت و توانایی فرایند تصمیم‌گیری می‌شود دوچندان است. تاکنون تحقیقات محدودی در حوزه‌ی کتتل فرایند^{۲۵} در خصوص داده‌های از دست رفته صورت پذیرفته است. محمود و همکاران^{۲۶} عملکرد روش‌های تخمین داده‌های از دست رفته در نمودارهای کتتل چندمتغیره در فاز یک را مورد بررسی قرار دادند. همچنین مبولی و همکاران^{۲۷} اثر داده‌های

از دست رفته بر نمودار کتتل میانگین متحرک موزون نمایی را ارزیابی کردند. در تحقیقی دیگر عشوری و امیری^{۲۸} عملکرد روش‌های تخمین داده‌های از دست رفته را در شاخص توانایی فرایند چندمتغیره‌ی تام از طریق مدل خطی تعیین یافته^{۲۹} در جدول تحلیل واریانس ارزیابی کردند. چنان‌که در شکل ۱ نشان داده شده است، الگوی داده‌های از دست رفته به چهار حالت قابل تعریف است:^{۳۰}

۱. داده‌های از دست رفته در حالت کاملاً تصادفی و بدون ساختار^{۳۱}: متدالو نرین



شکل ۱. الگوی داده‌های از دست رفته.^{۳۲}

$$L\hat{P}L_i = \tilde{\mathbf{X}}_i - \sqrt{\frac{\chi_{\alpha,k}^r \cdot \det(\mathbf{S}_i^{-1})}{\det(\mathbf{S}^{-1})}} \quad (7)$$

در شاخص توانایی فرایند C_{pm} به دلیل آن که رابطه‌ی بین شاخص توانایی فرایند و مشاهدات فازی غیرخطی است، بنابراین استفاده از روش‌های معمول برای تعیین تابع درجه‌ی عضویت شاخص توانایی فرایند امکان‌پذیر نیست. در این مقاله تابع درجه‌ی عضویت شاخص توانایی C_{pm} براساس مفهوم ارائه شده توسط کاو و لیو^[۲۴] محاسبه شده است. برای تعیین تابع درجه‌ی عضویت تخمینی شاخص توانایی فرایند از روش ارائه شده توسط موسوی و همکاران^[۱۳] و در سه گام استفاده می‌شود. در گام اول α -برش‌های مشاهدات براساس رابطه‌ی \wedge تعیین می‌شود. در گام دوم حدود بالا و پایین α -برش‌های شاخص توانایی فرایند با استفاده از توابع بهینه‌سازی محاسبه می‌شود. برای هر سطح α حد پایین شاخص توانایی فرایند با استفاده از کمینه‌سازی این شاخص، هنگامی که مشاهدات بین حد بالا و پایین خود در سطح α است، محاسبه می‌شود. همچنین حد بالای شاخص توانایی فرایند در سطح α با بیشینه‌سازی شاخص توانایی فرایند هنگامی که مشاهدات بین حدود بالا و پایین خود در سطح α هستند تعیین می‌شود. در گام سوم تابع درجه‌ی عضویت شاخص‌های توانایی فرایند براساس α -برش‌ها تعیین می‌شود. حدود پایین و بالای α -برش‌های شاخص توانایی فرایند C_{pm} به ترتیب با استفاده از روابط 9 و 10 محاسبه می‌شود. همچنین تابع درجه‌ی عضویت شاخص توانایی فرایند C_{pm} به صورت رابطه‌ی 11 تعریف می‌شود:

$$(X_{ij})_\alpha = \left[(X_{ij})_\alpha^L, (X_{ij})_\alpha^U \right] = \min_{x_{ij}} \left\{ x_{ij} \in \mathbf{x} \mid \mu_{\tilde{\mathbf{X}}_{ij}}(x_{ij}) \geq \alpha \right\}, \\ \max_{x_{ij}} \left\{ x_{ij} \in \mathbf{x} \mid \mu_{\tilde{\mathbf{X}}_{ij}}(x_{ij}) \geq \alpha \right\} \quad (8)$$

$$(\hat{C}_{pm})_\alpha^L = \min.$$

$$\left[\frac{\prod_{i=1}^k (USL_i - LSL_i)}{\prod_{i=1}^k \left(\left(\tilde{\mathbf{X}}_i + \sqrt{\frac{\chi_{k,\alpha}^r \cdot \det(\mathbf{S}_i^{-1})}{\det(\mathbf{S}^{-1})}} \right) - \left(\tilde{\mathbf{X}}_i - \sqrt{\frac{\chi_{k,\alpha}^r \cdot \det(\mathbf{S}_i^{-1})}{\det(\mathbf{S}^{-1})}} \right) \right)} \right]^{\frac{1}{k}} \quad (9)$$

$$(X_{ij})_\alpha^L \leq X_{ij} \leq (X_{ij})_\alpha^U \quad (9)$$

$$(\hat{C}_{pm})_\alpha^U = \max.$$

$$\left[\frac{\prod_{i=1}^k (USL_i - LSL_i)}{\prod_{i=1}^k \left(\left(\tilde{\mathbf{X}}_i + \sqrt{\frac{\chi_{k,\alpha}^r \cdot \det(\mathbf{S}_i^{-1})}{\det(\mathbf{S}^{-1})}} \right) - \left(\tilde{\mathbf{X}}_i - \sqrt{\frac{\chi_{k,\alpha}^r \cdot \det(\mathbf{S}_i^{-1})}{\det(\mathbf{S}^{-1})}} \right) \right)} \right]^{\frac{1}{k}} \quad (10)$$

$$(X_{ij})_\alpha^L \leq X_{ij} \leq (X_{ij})_\alpha^U \quad (10)$$

$$L(\hat{C}_{pm}), \quad (\hat{C}_{pm})_1^L \leq \hat{C}_{pm} \leq (\hat{C}_{pm})_1^U \\ \mu_{\hat{C}_{pm}}(\hat{C}_{pm}) = \begin{cases} 1, & (\hat{C}_{pm})_1^L \leq \hat{C}_{pm} \leq (\hat{C}_{pm})_1^U \\ R(\hat{C}_{pm}), & (\hat{C}_{pm})_1^U \leq \hat{C}_{pm} \leq (\hat{C}_{pm})_1^U \end{cases} \quad (11)$$

برای داده‌های فازی چندمتغیره از رابطه‌ی 5 محاسبه می‌شود. $R(\hat{C}_{pm})$ به ترتیب توابع چپ و راست تابع درجه عضویت شاخص توانایی فرایند $\mu_{\hat{C}_{pm}}$ هستند.

داده‌های از دست رفته با روش‌های میانگین و رگرسیون تخمین زده می‌شوند به همراه تحلیل حساسیت روی مقادیر مختلف ضریب همبستگی بین مشخصه‌های کیفی و درصد داده‌های از دست رفته، با استفاده از مثال عددی در بخش پنجم نشان داده شده است. همچنین در باب این نتیجه‌گیری و پیشنهادات برای مطالعات آتی ارائه شده است.

۲. شاخص توانایی فرایند چندمتغیره

یکی از شاخص‌های توانایی فرایند چندمتغیره، شاخص ارائه شده توسط شهریاری و همکاران^[۱۲] است. شاخص C_{pm} از نسب ناحیه‌ی تولرانس و ناحیه‌ی فرایند تبدیل یافته محاسبه می‌شود:

$$C_{pm} = \left[\frac{\prod_{i=1}^k (USL_i - LSL_i)}{\prod_{i=1}^k (UPL_i - LPL_i)} \right]^{\frac{1}{k}} \quad (1)$$

در این رابطه UPL_i و LPL_i به ترتیب حدود پایین و بالای فرایند هستند که با استفاده از روابط 2 و 3 محاسبه می‌شود:

$$LPL_i = U_i - \sqrt{\frac{\chi_{\alpha,k}^r \cdot \det(\Sigma_i^{-1})}{\det(\Sigma^{-1})}} \quad (2)$$

$$UPL_i = U_i + \sqrt{\frac{\chi_{\alpha,k}^r \cdot \det(\Sigma_i^{-1})}{\det(\Sigma^{-1})}} \quad (3)$$

در این روابط U_i میانگین مشخصه‌ی کیفی شماره i و Σ ماتریسی برگرفته از ماتریس واریانس - کوواریانس است که در آن سطر و ستون شماره‌ی i حذف شده است.

۱.۲. شاخص توانایی فرایند چندمتغیره‌ی فازی

در دنیای واقعی همواره مقادیر مشخصه‌های کیفی اعداد قطعی نیستند. هنگامی که مشاهدات برگرفته از یک فرایند غیردقیق است یا مقدار مشاهدات به صورت داده‌های زبانی بیان می‌شود، از اعداد فازی برای بیان مشاهدات استفاده می‌شود که معمولاً در ادبیات موضوع به منظور سادگی به صورت اعداد مثلثی در نظر گرفته می‌شوند. در این مقاله نیز هم راستا با ادبیات موضوع از اعداد فازی مثلثی استفاده می‌شود. اگرچه می‌توان روش‌های ارائه شده در این مقاله را به راحتی به اعداد فازی ذوزنقه‌ی تعیین داد. اگر فرض شود \tilde{X}_i یک عدد فازی مثلثی است که مقدار مشاهده‌ی زام مشخصه کیفی نام را نشان می‌دهد، می‌توان آن را به صورت رابطه‌ی 4 نشان داد:

$$\tilde{X}_{ij} = (X_{ij}^l, X_{ij}^m, X_{ij}^u) \quad (4)$$

شاخص توانایی فرایند C_{pm} برای داده‌های فازی چندمتغیره از رابطه‌ی 5 محاسبه می‌شود.

$$\hat{C}_{pm} = \left[\frac{\prod_{i=1}^k (USL_i - LSL_i)}{\prod_{i=1}^k (U\hat{P}L_i - L\hat{P}L_i)} \right]^{\frac{1}{k}} \quad (5)$$

مقادیر $U\hat{P}L_i$ و $L\hat{P}L_i$ به ترتیب با استفاده از روابط 6 و 7 محاسبه می‌شود:

$$U\hat{P}L_i = \tilde{X}_i + \sqrt{\frac{\chi_{\alpha,k}^r \cdot \det(\mathbf{S}_i^{-1})}{\det(\mathbf{S}^{-1})}} \quad (6)$$

در روش رگرسیون، تابع درجه‌ی عضویت مقدار تخمینی داده‌ی از دست رفته با استفاده از روش ارائه شده برای تعیین تابع درجه‌ی عضویت شاخص‌های توانایی فرایند محاسبه می‌شود. در این روش حدود پایین و بالای α - برش‌های تخمین داده‌ی از دست رفته به ترتیب با استفاده از روابط ۱۸ و ۱۹ تعیین می‌شود:

$$\hat{\beta} = \frac{\sum_j (X_{1j} - \bar{X}_1)(X_{2j} - \bar{X}_2)}{\sum_j (X_{2j} - \bar{X}_2)^2}$$

$$\hat{\alpha} = \bar{X}_1 - \hat{\beta} \bar{X}_2$$

$$(X_{ij})_{\alpha}^L \leq X_{ij} \leq (X_{ij})_{\alpha}^U \quad (18)$$

$$\hat{\beta} = \frac{\sum_j (X_{1j} - \bar{X}_1)(X_{2j} - \bar{X}_2)}{\sum_j (X_{2j} - \bar{X}_2)^2}$$

$$\hat{\alpha} = \bar{X}_1 - \hat{\beta} \bar{X}_2$$

$$(X_{ij})_{\alpha}^L \leq X_{ij} \leq (X_{ij})_{\alpha}^U \quad (19)$$

α - برش‌های مقدار تخمینی داده‌ی از دست رفته است. روابط ۱۸ و ۱۹ هنگامی کاربرد دارند که مشخصه‌ی کیفی اول داده از دست رفته باشد.

۴. رویه‌ی تحقیق و روش‌های پیشنهادی تخمین داده‌های از دست رفته‌ی فازی

در این بخش ابتدا رویه‌ی تحقیق به منظور بررسی روش‌های پیشنهادی در تخمین داده‌های از دست رفته‌ی فازی در شاخص توانایی فرایند دومتغیره‌ی فازی C_{pm} تشریح شده است. سپس در ادامه توسعه‌ی دو روش میانگین و رگرسیون به منظور تخمین داده‌های از دست رفته با رویکرد فازی ارائه شده است.

۴.۱. رویه‌ی تحقیق

در این بخش گام‌های تحقیق به منظور بررسی روش‌های پیشنهادی در تخمین مشاهدات از دست رفته و تحلیل پاسخ شاخص توانایی فرایند در حضور داده‌های از دست رفته با در نظر گرفتن ضرایب همبستگی و درصد داده‌های از دست رفته در شکل ۲ ارائه شده است.

هدف از رویه‌ی ارائه شده ارزیابی بهترین شرایطی است که در آن تأثیر پذیری شاخص توانایی فرایند از حضور داده‌های از دست رفته به کمترین حالت خود رسیده (حالت ایده‌آل) و مقدار براورد شده از توانایی فرایند یک ارزیابی صحیح باشد و درنتیجه ریسک براوردهای غلط از توانایی فرایند به عملت حضور داده‌های از دست رفته کمیته شود.

۴.۲. الگوریتم اجتماع ذرات (POS)

در الگوریتم اجتماع ذرات جهت حرکت ذره (بردار سرعت) در هر تکرار متأثر از سه عامل است: ۱. بهترین خاطره‌ی شخصی^۷ (p_i^k) یعنی بهترین مکانی که ذره‌ی i ام

۳. روش‌های تخمین داده‌های از دست رفته در حالت قطعی

در این بخش دو روش میانگین و رگرسیون به منظور تخمین داده‌های از دست رفته ارائه شده است. هدف از ارائه‌ی این روش‌ها انتخاب بهترین روش به منظور تخمین داده‌های از دست رفته است. اختلاف بین شاخص توانایی فرایند تخمین زده شده در حضور داده‌های از دست رفته، و شاخص توانایی فرایند در حالت عدم حضور داده‌های از دست رفته به عنوان معیاری برای بررسی قابل قبول‌ترین روش در تخمین داده‌های از دست رفته محسوب می‌شود.

۳.۱. روش میانگین

در این روش میانگین مشاهدات موجود به عنوان جایگزینی برای داده‌های از دست رفته تلقی می‌شود. بدین ترتیب اگر مشاهده‌ی i از X_1 گم شده تلقی شود، میانگین مشاهدات موجود در مشخصه‌ی کیفی شماره i (\bar{X}_i) به عنوان برآورده از داده‌ی از دست رفته استفاده می‌شود.

۳.۲. روش رگرسیون

این روش از معادله‌ی رگرسیون به منظور تخمین داده‌های از دست رفته استفاده می‌کند. اگر (X_1, X_2) برداری از مشاهدات باشند، در آنها X_2 به عنوان متغیر پاسخ و X_1 به عنوان متغیر مستقل در نظر گرفته می‌شود. فرض می‌شود همواره یک مقدار از بردار مشاهدات (X_1, X_2) از دست رفته باشد. در این روش شبیه خط رگرسیون $(\hat{\beta})$ با استفاده از رابطه‌ی ۱۲ تخمین زده می‌شود:

$$\hat{\beta} = \frac{S_{x_1 x_2}}{S_{x_1 x_1}} \quad (12)$$

که در آن مقادیر $S_{x_1 x_2}$ و $S_{x_1 x_1}$ به ترتیب از طریق روابط ۱۳ و ۱۴ قابل محاسبه است:

$$S_{x_1 x_2} = \sum_j (X_{1j} - \bar{X}_1)(X_{2j} - \bar{X}_2) \quad (13)$$

$$S_{x_1 x_1} = \sum_j (X_{1j} - \bar{X}_1)^2 \quad (14)$$

عرض از مبدأ خط رگرسیون ($\hat{\alpha}$) با استفاده از رابطه‌ی ۱۵ برآورده می‌شود:

$$\hat{\alpha} = \bar{X}_2 - \hat{\beta} \bar{X}_1 \quad (15)$$

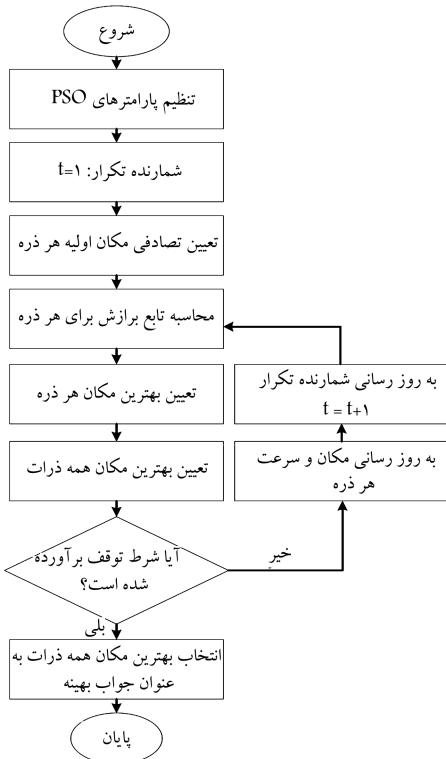
اگر Z_2 مشاهده از دست رفته فرض شود، با استفاده از رابطه‌ی ۱۶ قابل تخمین است:

$$\hat{X}_{2j} = \hat{\alpha} + \hat{\beta} X_{1j} \quad (16)$$

۳. روش‌های پیشنهادی تخمین داده‌های از دست رفته‌ی فازی

مقادیر فازی مشاهدات از دست رفته با استفاده از روش میانگین و رگرسیون به صورت فازی تخمین زده می‌شود. هنگامی که مشاهدات اعداد فازی متشابه اند مقدار براورد شده‌ی داده‌های از دست رفته از رابطه‌ی ۱۷ محاسبه می‌شود:

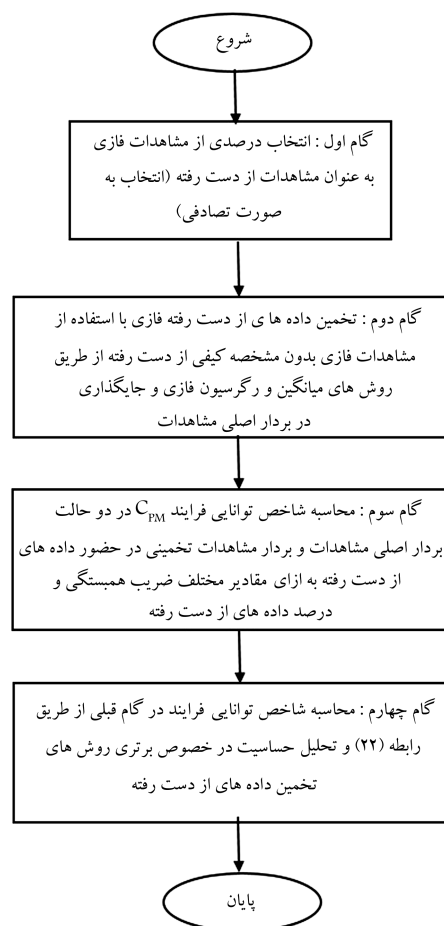
$$\tilde{X} = \left(\frac{\sum_{j=1}^n X_{1j}^l}{n}, \frac{\sum_{j=1}^n X_{1j}^m}{n}, \frac{\sum_{j=1}^n X_{1j}^u}{n} \right) \quad (17)$$



شکل ۳. فرایند الگوریتم بهینه‌سازی اجتماع ذرات.

۵. مثال عددی

بعد از بیان رویه‌ی تحقیق و توسعه‌ی روش‌های تخمین داده‌های از دست رفته در محیط فازی، در این بخش مثال عددی برای بررسی عملکرد روش‌های تخمین داده‌های از دست رفته فازی بر عملکرد شاخص توانایی فرایند دومتغیره‌ی فازی ارائه شده است. فرض می‌شود مقادیر مشخصه‌های کیفی اعداد فازی مثلثی برگرفته از یک توزیع نرمال دومتغیره با بردار میانگین و ماتریس واریانس کوواریانس فازی هستند. به منظور ارزیابی اثر ضریب همبستگی در این مقاله فرض می‌شود که ماتریس واریانس - کوواریانس با ماتریس همبستگی برابر است (واریانس مشخصه‌های کیفی برابر ۱ در نظر گرفته شده است).^[۱۰] فرض می‌شود که نمونه‌ی با بیست مشاهده از فرایند نرمال دومتغیره با بردار میانگین [۸ ۵] و ماتریس واریانس کوواریانس $\begin{bmatrix} ۱ & \rho & \rho \\ \rho & ۱ & \rho \\ \rho & \rho & ۱ \end{bmatrix}$ تولید شده است. سپس برای تولید اعداد فازی مثلثی به تعداد مشاهدات، داده‌ی دارای توزیع یکنواخت در بازه [۰/۱ ۰/۲] تولید می‌شود و به مشاهدات دارای توزیع نرمال دومتغیره اضافه و از آنها کم می‌شود. هنگامی که درصد داده‌های از دست رفته٪ ۱۵٪ ۲۵٪ باشند مشاهدات از دست رفته با استفاده از دو روش میانگین و رگرسیون تخمین زده می‌شود و مقادیر به دست آمده جایگزین داده‌های از دست رفته شده و مقادیر شاخص توانایی فرایند محاسبه می‌شود. حدود مشخصه‌ی فنی پایین و بالا برای مشخصه‌های کیفی اول و دوم به ترتیب برابر با [۹/۹ ۱۱/۷] و [۲/۳ ۴/۲]^[۴] است. تعداد دفعات شبیه‌سازی ۱۰۰ بار است. مقادیر شاخص توانایی فرایند فازی C_{pm} در حالت عدم وجود داده‌های از دست رفته به ازای مقادیر مختلف ضریب همبستگی در جدول ۳ نشان داده شده است.



شکل ۲. رویه‌ی تحقیق.

جدول ۱. پارامترهای الگوریتم اجتماع ذرات.

پارامتر	k	w	c_2	c_1	جمعیت ذرات
مقدار	۳۰	۳۰۰	۱	۲	۲

تا تکرار k ام پیدا کرده است؛ ۲. بهترین خاطره‌ی جمعی (p_g^k) یعنی بهترین مکانی که تمام ذرات تا تکرار k ام پیدا کرده‌اند؛ ۳. اینرسی (ν_i^k) یعنی تمايل به حرکت در جهت تکرار قبلی. بنابراین، بردارهای سرعت و موقعیت ذره‌ی i ام در تکرار $k+1$ به ترتیب با استفاده از روابط ۲۰ و ۲۱ به روزرسانی می‌شود:

$$\nu_i^{k+1} = w\nu_i^k + c_1 r_1 (p_i^k - x_i^k) + c_2 r_2 (p_g^k - x_i^k) \quad (20)$$

$$x_i^{k+1} = x_i^k + \nu_i^{k+1} \quad (21)$$

در روابط ۲۰ و ۲۱، متغیرهای w , c_1 و c_2 به ترتیب معرف ضریب اینرسی، ضریب یادگیری شخصی و ضریب یادگیری جمعی با مقادیر مثبت هستند. همچنین r_1 و r_2 معرف مقادیر تصادفی با توزیع یکنواخت در بازه [۰, ۱]^[۱۰] هستند که مقدار آن‌ها در هر تکرار متفاوت خواهد بود. مقادیر پارامترها در این مقاله در جدول ۱ نشان داده شده است. فرایند الگوریتم بهینه‌سازی اجتماع ذرات نیز در شکل ۳ نشان داده شده است.

جدول ۲. میانگین شاخص توانایی فرایند فازی \hat{C}_{pm} در حالت عدم وجود داده‌های از دست رفته.

شاخص	ρ
\hat{C}_{pm}	۰,۲۵
\hat{C}_{pm}	۰,۵
\hat{C}_{pm}	۰,۷۵

براساس نتایج جدول ۲ مقادیر شاخص توانایی فرایند \hat{C}_{pm} با افزایش مقدار ضریب همبستگی افزایش می‌باشد.

مقادیر میانگین شاخص توانایی فرایند \hat{C}_{pm} در حالتی که به‌ازای برخی از مقادیر مشخصه‌ی کیفی دوم، مشخصه‌ی کیفی اول وابسته به آن موجود نیست، در جدول ۳ نشان داده شده است. در این جدول مقادیر از دست رفته با روش میانگین به‌ازای مقادیر مختلف برای درصد داده‌های از دست رفته تخمین زده می‌شود. فاصله‌ی متريک بين تخمین شاخص‌های توانایی فرایند در حالت وجود داده‌های از دست رفته و عدم وجود داده‌های از دست رفته از رابطه‌ی ۲۲ تعين می‌شود:

$$D(\tilde{A}, \tilde{B}) = \left[\int_0^1 (L^{-1}(A) - L^{-1}(B))^2 + \int_0^1 (R^{-1}(A) - R^{-1}(B))^2 \right]^{1/2} \quad (22)$$

که در آن $\tilde{A}(x) = (d, e, f)$ و $\tilde{B}(x) = (a, b, c)$ اعداد فازی مثلثی‌اند. $R^{-1}(A)(L^{-1}(B))$ توابع معکوس چپ و راست توابع درجه‌ی عضویت اعداد فازی $\tilde{A}(x)\tilde{B}(x)$ هستند. $L^{-1}(A)$ و $R^{-1}(A)$ مطابق روابط ۲۳ و ۲۴ تعریف می‌شوند.

$$L^{-1}(A) = a + (b - a)y \quad (23)$$

$$R^{-1}(A) = c + (b - c)y \quad (24)$$

فاصله‌ی بین مقدار شاخص توانایی فرایند در حالت عدم وجود داده‌های از دست رفته، وجود داده‌های از دست رفته با استفاده از رابطه‌ی ۲۲ محاسبه شده و میانگین، کمینه و بیشینه‌ی این فاصله در جدول ۳ نشان داده شده است.

براساس نتایج نشان داده شده در جدول ۳ با افزایش درصد داده‌های از دست رفته، فاصله‌ی بین مقادیر شاخص توانایی فرایند در حالت وجود و عدم وجود داده‌های از دست رفته افزایش می‌باشد. بنابراین با افزایش درصد داده‌های از دست رفته کارایی روش میانگین در تخمین داده‌های از دست رفته کاهش می‌باشد.

مقادیر شاخص توانایی فرایند فازی (\hat{C}_{pm})، میانگین، کمینه و بیشینه فاصله‌ی بین شاخص توانایی فرایند در حالت وجود و عدم وجود داده‌های از دست رفته -- به‌ازای مقادیر مختلف درصد داده‌های از دست رفته، هنگامی که داده‌های از دست رفته با روش رگرسیون تخمین زده می‌شود -- در جدول ۴ نشان داده شده است.

برای مقایسه‌ی روش‌های تخمین داده‌های از دست رفته براساس نتایج میانگین دست رفته آزمون t زوجی استفاده می‌شود زیرا مقادیر ضریب همبستگی و درصد داده‌های از دست رفته باعث وابستگی مقادیر میانگین فاصله حاصل از دو روش می‌شوند. ارزش P^* برای این آزمون برابر 46° در سطح 5° است، بنابراین اختلاف میان دو روش میانگین و رگرسیون معنادار است؛ برای برآورد داده‌های

Paired T for mean method - regression method				
	N	Mean	StDev	SE Mean
mean method	9	0.26363	0.02731	0.00910
regression method	9	0.25859	0.02338	0.00779
Difference	9	0.00504	0.00642	0.00214

95% CI for mean difference: (0.00011, 0.00998)
T-Test of mean difference = 0 (vs not = 0): T-Value = 2.36 P-Value = 0.046

شکل ۴. آزمون t زوجی برای مقایسه روش‌های تخمین داده‌های از دست رفته.

از دست رفته بهتر است از روش رگرسیون استفاده شود (شکل ۴). در این قسمت برای بررسی اثر نمونه بر عملکرد روش‌های میانگین و رگرسیون مقادیر شاخص توانایی فرایند C_{pm} برای اندازه نمونه ۶۰، ۴۰، ۱۰۰ هنگامی که ضریب همبستگی برابر ۰٪ و درصد داده‌های از دست رفته برابر ۱۵٪ باشد، محاسبه و در جدول ۵ نشان داده شده است.

براساس نتایج حاصل از جدول ۵، با افزایش اندازه نمونه روش‌های تخمین داده‌های از دست رفته رفته عملکرد بهتری دارند. همچنین روش رگرسیون هنگامی که اندازه نمونه افزایش می‌یابد از عملکرد بهتری نسبت به روش میانگین برخوردار است. برای بررسی اثر میزان فازی بودن مشاهدات بر عملکرد روش‌های تخمین داده‌های از دست رفته اعداد تصادفی از توزیع یکنواخت [۰, ۳۵] به تعداد مشاهدات تولید می‌شوند و با اعداد دارای توزیع نرمال دومتغیره‌ی تولید شده جمع و از آنها کم می‌شود، که این امر سبب تولید اعداد فازی بزرگ‌تر نسبت به مثال قبل می‌شود. مقدار میانگین شاخص توانایی فرایند C_{pm} در حالت عدم وجود داده‌های از دست رفته در این حالت برابر با (۰,۸۹۵۷, ۱,۱۴۲۲, ۰,۵۱۸۵) است. مقادیر میانگین شاخص توانایی فرایند C_{pm} که داده‌های از دست رفته به روش میانگین و رگرسیون برآورده می‌شود و میانگین فاصله تا مقدار شاخص در حالت عدم وجود داده از دست رفته برای درصد داده از دست رفته ۱۵٪ و ضریب همبستگی ۰,۲۵ در جدول ۶ نشان داده شده است.

براساس نتایج حاصل از جدول ۶ با افزایش میزان فازی بودن مشاهدات کارایی روش‌های برآورده داده‌های از دست رفته کاهش می‌یابد. به عبارت دیگر فاصله‌ی بین برآورده شاخص توانایی فرایند در حالت وجود و عدم وجود داده‌های از دست رفته افزایش می‌یابد.

۶. نتیجه‌گیری و پیشنهادات آتی

در این نوشتار شاخص توانایی فرایند (C_{pm}) به عنوان معیاری برای سنجش توانایی فرایند در تأمین خواسته‌های مشتریان، در محیط عدم قطعیت فازی و همچنین در حضور داده‌های از دست رفته، مورد ارزیابی قرار گرفت. به منظور تخمین داده‌های از دست رفته‌ی فازی از روش‌های میانگین و رگرسیون فازی استفاده شد. همچنین اثر تخمین داده‌های از دست رفته فازی بر عملکرد شاخص توانایی فرایند (C_{pm}) با در نظر گرفتن مقادیر مختلف درصد داده‌های از دست رفته و ضرایب همبستگی مورد بررسی قرار گرفت. نتایج حاصل از شبیه‌سازی نشان داد که روش رگرسیون نسبت به روش میانگین در تخمین داده‌های از دست رفته، عملکرد بهتری دارد. همچنین با افزایش اندازه نمونه، کارایی روش‌های میانگین و رگرسیون در برآورده داده‌های از دست رفته افزایش می‌یابد. بنابراین فاصله‌ی بین شاخص توانایی فرایند فازی و همچنین با افزایش درجه‌ی فازی بودن مشاهدات، کارایی روش‌های تخمین داده‌های از دست رفته رفته کاهش می‌یابد.

جدول ۳. شاخص توانایی فرایند فازی \hat{C}_{pm} در صورت وجود داده‌های از دست رفته و تخمین داده‌های از دست رفته با روش میانگین.

دست رفته	داده‌های از	درصد	فاصله‌ی بین شاخص توانایی فرایند	
			میانگین مقادیر شاخص توانایی	
			در حالت وجود داده‌های از دست رفته	و عدم وجود داده‌های از دست رفته
حداکثر	میانگین	حداکل	حداکثر	میانگین
۱,۱۹۵۵	۰,۲۲۸۰	۰,۰۰۰۹	(۱,۰۱۷۳, ۱,۱۵۶۳, ۱,۳۲۶۵)	۵
۱,۱۹۸۵	۰,۲۳۴۰	۰,۰۰۱۰	(۱,۰۳۵۶, ۱,۱۷۶۶, ۱,۳۴۸۳)	۱۵
۱,۲۹۵۸	۰,۲۵۹۴	۰,۰۰۱۹	(۱,۰۶۵۷, ۱,۲۱۵۱, ۱,۳۹۷۷)	۲۵
۱,۳۳۵۳	۰,۲۴۵۲	۰,۰۰۰۸	(۱,۰۱۸۶, ۱,۱۵۸۱, ۱,۳۲۹۲)	۵
۱,۳۸۲۵	۰,۲۵۳۱	۰,۰۰۲۷	(۱,۰۳۷۷, ۱,۱۷۹۶, ۱,۳۵۲۶)	۱۵
۱,۶۱۰۹	۰,۲۸۰۲	۰,۰۰۲۶	(۱,۰۶۷۸, ۱,۲۱۸۰, ۱,۴۰۱۸)	۲۵
۱,۴۰۸۲	۰,۲۷۴۲	۰,۰۰۰۸	(۱,۰۲۰۵, ۱,۱۶۱۰, ۱,۳۲۳۴)	۵
۱,۴۵۰۴	۰,۲۸۴۸	۰,۰۰۲۲	(۱,۰۴۰۶, ۱,۱۸۳۹, ۱,۳۵۹۴)	۱۵
۲,۰۱۷۷	۰,۳۱۳۸	۰,۰۰۱۷	(۱,۰۷۰۲, ۱,۲۲۱۵, ۱,۴۰۱۸)	۲۵

جدول ۴. شاخص توانایی فرایند فازی \hat{C}_{pm} در صورت وجود داده‌های از دست رفته و تخمین داده‌های از دست رفته با روش رگرسیون.

دست رفته	داده‌های از	درصد	فاصله‌ی بین شاخص توانایی فرایند	
			میانگین مقادیر شاخص توانایی	
			در حالت وجود داده‌های از دست رفته	و عدم وجود داده‌های از دست رفته
حداکثر	میانگین	حداکل	حداکثر	میانگین
۱,۱۹۸۶	۰,۲۲۷۹	۰,۰۰۰۸	(۱,۰۱۱۸, ۱,۱۵۴۵, ۱,۳۲۶۳)	۵
۱,۱۷۰۱	۰,۲۳۰۶	۰,۰۰۱۹	(۱,۰۳۵۶, ۱,۱۶۵۸, ۱,۳۴۴۳)	۱۵
۱,۲۶۲۴	۰,۲۵۱۱	۰,۰۰۴۴	(۱,۰۳۳۰, ۱,۲۰۰۵, ۱,۳۹۳۴)	۲۵
۱,۳۳۵۳	۰,۲۴۵۲	۰,۰۰۰۸	(۱,۰۰۸۹, ۱,۱۵۳۸, ۱,۳۲۸۰)	۵
۱,۳۴۱۵	۰,۲۴۷۷	۰,۰۰۴۴	(۱,۰۰۳۶, ۱,۱۶۳۶, ۱,۳۴۴۴)	۱۵
۱,۶۱۰۹	۰,۲۸۰۲	۰,۰۰۲۶	(۱,۰۱۴۸, ۱,۱۸۹۰, ۱,۳۹۰۱)	۲۵
۱,۴۰۶۶	۰,۲۷۳۸	۰,۰۰۰۹	(۱,۰۱۵۳, ۱,۱۵۱۹, ۱,۳۲۹۸)	۵
۱,۲۷۰۵	۰,۲۷۶۵	۰,۰۰۴۱	(۰,۹۸۸۰, ۱,۱۰۰۲, ۱,۳۴۱۶)	۱۵
۱,۶۹۰۵	۰,۲۹۴۳	۰,۰۰۵۱	(۰,۹۸۹۱, ۱,۱۶۸۷, ۱,۳۷۹۲)	۲۵

جدول ۵. بررسی اثر اندازه نمونه بر تخمین شاخص توانایی فرایند \hat{C}_{pm} در حالت وجود داده‌های از دست رفته و تخمین داده‌های از دست رفته به روش میانگین.

روش	n	داده‌های کامل	وجود داده‌های از دست رفته	فاصله
میانگین	۲۰	(۱,۰۰۵۷, ۱,۱۴۲۲, ۱,۳۰۹۳)	(۱,۰۰۳۵۶, ۱,۱۷۶۶, ۱,۳۴۸۳)	۰,۲۳۴۰
	۴۰	(۱,۹۸۸۴, ۱,۱۱۵۶, ۰,۲۶۸۷)	(۱,۰۰۲۲۷, ۱,۱۵۵۵, ۱,۳۱۴۴)	۰,۱۶۹۸
	۶۰	(۱,۹۸۶۲, ۱,۱۱۱۷, ۰,۲۶۲۲)	(۱,۰۰۲۴۲, ۱,۱۵۵۹, ۱,۳۱۲۸)	۰,۱۳۷۵
	۱۰۰	(۱,۹۸۳۷, ۱,۱۰۵۴, ۰,۲۵۱۳)	(۱,۰۰۲۰۳, ۱,۱۴۷۷, ۱,۲۹۹۶)	۰,۱۱۱۵
رگرسیون	۲۰	(۱,۰۰۵۷, ۱,۱۴۲۲, ۱,۳۰۹۳)	(۱,۰۰۳۵۶, ۱,۱۶۵۸, ۱,۳۴۴۳)	۰,۲۳۰۶
	۴۰	(۱,۹۸۸۴, ۱,۱۱۵۶, ۰,۲۶۸۷)	(۱,۰۰۰۶۹, ۱,۱۴۹۰, ۱,۳۱۲۷)	۰,۱۶۶۴
	۶۰	(۱,۹۸۶۲, ۱,۱۱۱۷, ۰,۲۶۲۲)	(۱,۰۰۱۰۷, ۱,۱۵۰۸, ۱,۳۱۱۹)	۰,۱۳۴۴
	۱۰۰	(۱,۹۸۳۷, ۱,۱۰۵۴, ۰,۲۵۱۳)	(۱,۰۰۰۸۶, ۱,۱۴۳۸, ۱,۲۹۹۱)	۰,۱۰۸۸

بررسی سایر روش های تخمین داده های از دست رفته همچون روش بیشینه سازی ارزش انتظاری و همچنین بررسی اثر داده های از دست رفته بر عملکرد شاخص توانایی فرایند هنگامی که حدود مشخصه های فنی نیز به صورت فازی در نظر گرفته شده است به عنوان تحقیقات آتی پیشنهاد می شود.

جدول ۶. بررسی اثر میزان فازی بودن مشاهدات بر برآورد داده های از دست رفته.

روش	میانگین شاخص توانایی فرایند	میانگین فاصله
٪/۲۵۷۸	(٪/۸۸۵۱, ٪/۱۷۶۶, ٪/۰۵۶۳)	میانگین
٪/۲۵۷۱	(٪/۹۲۱۱, ٪/۱۶۹۱, ٪/۰۵۶۳)	رگرسیون

پانوشت ها

1. general linear model
2. non-structured
3. univariate
4. block-wise
5. file matching
6. particle swarm optimization
7. personal best
8. global best
9. inertia
10. P-value

منابع (References)

1. Kotz, S. and Johnson, N.L. "Process capability indices – a review", *Journal of Quality Technology*, **34**(1), pp. 1-19 (2002).
2. Taam, W., Subbaiha, P. and Liddy, J.W. "A note on multivariate capability indices", *Applied Statistics*, **20**(3), pp. 339-351 (1993).
3. Shahriari, H., Hubelle, N.F. and Lawrence, F.P. "A multivariate process capability vector", *Proceedings of the 4th Industrial Engineering Research Conference*, Institute of Industrial Engineers, pp. 304-309 (1995).
4. Chen, H. "A multivariate process capability index over a rectangular solid tolerance zone", *Statistica Sinica*, **4**(2), pp. 749-758 (1994).
5. Wang, F.K. and Chen, J.C. "Capability index using principal component analysis", *Quality Engineering*, **11**(1), pp. 21-27 (1998).
6. Shahriari, H. and Abdollahzadeh, M. "A new multivariate process capability vector", *Quality Engineering*, **21**(3), pp. 290-299 (2009).
7. Tsai, C.C. and Chen, C.C. "Making decision to evaluate process capability index Cp with fuzzy numbers", *International Journal of Advanced Manufacturing Technology*, **30**(3-4), pp. 334-339 (2013).
8. Parchami, A. and Mashinchi, M. "Fuzzy estimation for process capability indices", *Information Sciences*, **177**(6), pp. 1452-1462 (2007).
9. Parchami, A. and Mashinchi, M. "Testing the capability of fuzzy processes", *Quality Technology & Quantitative Management*, **6**(2), pp. 125-136 (2009).
10. Parchami, A., Mashinchi, M. and Partovi Nia, V. "A consistent confidence interval for fuzzy capability index", *Applied Computing and Mathematics*, **7**(1), pp. 143-161 (2008).
11. Chen, C.C., Lai, C.M. and Nien, H.Y. "Measuring process capability index C_{pm} with fuzzy data", *Quality & Quantity*, **44**(3), pp. 529-535 (2010).
12. Abdolshah, M., Yusuff, R.M., Hong, S.H., Ismail, Md.Y.B. and Naimi Sadigh, A. "Measuring process capability index C_{pmk} with fuzzy data and compare it with other fuzzy process capability indices", *Expert Systems with Applications*, **38**(6), pp. 6452-6457 (2011).
13. Mousavi, S.M., Nikzad, E. and Amiri, A. "An extension of MPC under fuzzy environment", Submitted (2017).
14. Little, R.J.A. and Rubin, D.B., *Statistical Analysis with Missing Data*, 2nd edition, John Wiley & Sons, Inc., New York, NY, 408 p. (2002).
15. Grung, B. and Manne, R. "Missing values in principal component analysis", *Chemometrics and Intelligent Laboratory Systems*, **42**, pp. 125-139 (1998).
16. Schafer, J.L. and Graham, J.W. "Missing data: Our view of the state of the art", *Psychological Methods*, **7**(2), pp. 147-177 (2002).
17. Acharya, N.N. and Black Nembhard, H. "Bayesian algorithms for missing observations in experimental designs for a nanolubrication process", *IIE Transactions*, **41**(11), pp. 969-978 (2009).
18. Flores-Cerrillo, J. and MacGregor, J.F. "Latent variable MPC for trajectory tracking in batch processes", *Journal Process Control*, **15**(6), pp. 651-663 (2005).
19. Lopes, V.V. and Menezes, J.C. "Inferential sensor design in the presence of missing data: A case study", *Chemometrics and Intelligent Laboratory Systems*, **78**(1-2), pp. 1-10 (2005).
20. Mahmoud, M.A., Saleh, N.A. and Madbuly, D.F. "Phase I analysis of individual observation with missing data", *Quality and Reliability Engineering International*, **30**(4), pp. 559-569 (2013).
21. Madbuly, D.F., Maravelakis, P.E. and Mahmoud, M.A. "The effect of methods for handling missing values on the performance of the MEWMA control chart", *Communications in Statistics - Simulation and Computation*, **42**(6), pp. 1437-1454 (2013).
22. Ashuri, A. and Amiri, A. "Evaluating estimation methods of missing data on a multivariate process capability index", *International Journal of Engineering*, **28**(1), pp. 101-110 (2015).

23. Eberhart, R.C. and Kennedy, J. "A new optimizer using particle swarm theory", *Proceedings of the Sixth Symposium Micro Machine and Human Science*, Piscataway, NJ, IEEE Service Center, pp. 39-43 (1995).
24. Kao, C. and Liu, S.T. "Fractional programming approach to fuzzy weighted average", *Fuzzy Sets and Systems*, **120**(3), pp. 435-444 (2001).
25. Cheng, C.H. "A new approach for ranking fuzzy numbers by distance method", *Fuzzy Sets and Systems*, **95**(3), pp. 307-317 (1998).